

高等学校交流講义

原子核理論講義

YUANZIHE LILUN JIANGYI

夏 蓉 編

人民教育出版社

高等学校交流講义



原子核理論讲义

YUANZIHE LILUN JIANGYI

夏蓉編

人民教育出版社

本书主要包括核力、核结构、核反应和核衰变等内容。对于上述内容，书中介绍了基本的理论处理方法和结果，并在一些部分把理论与实验的结果进行了比较和分析。学习本书应具备原子核物理的基本知识和实验方法的知识，以及量子力学和数学物理方法等课程的基础。

原子核理論講義

夏 蓉 編

人民教育出版社出版

高等学校教學用書編製部
北京宣武門內永豐寺 7 号

(北京市书刊出版业营业登记证字第 2 号)

京 华 印 书 局 印 装

新华书店科技发行所发行

各 地 新 华 书 店 经 销

统一书号 13010·1023 开本 850×1168 1/16 印数 11~16
字数 278,000 印数 0001~8,500 定价 (6) ￥1.10
1961 年 8 月第 1 版 1961 年 8 月北京第 1 次印刷

目 录

第一章 核力問題.....	1
§ 1.1 核力問題的一般介紹.....	1
§ 1.2 在協變性要求下核力的普遍形式.....	4
§ 1.3 低能区中子与质子的相互作用, 粒核基态性质.....	8
§ 1.4 低能 $n-p$ 散射.....	11
§ 1.5 低能 $p-p$ 散射.....	19
§ 1.6 張量力对二核子系的影响.....	25
§ 1.7 中能及高能区核子-核子散射.....	29
§ 1.8 核子-核子散射的极化現象.....	39
第二章 原子核结构——壳模型.....	51
§ 2.1 核结构的基本实验事实及初步分析.....	52
§ 2.2 核子在核內的自洽場.....	63
§ 2.3 梅逸-琼孙的唯象理論.....	68
§ 2.4 壳模型的改进.....	81
第三章 原子核结构——集体模型.....	91
§ 3.1 集体模型的提出及一般考慮.....	91
§ 3.2 原子核的轉动.....	98
§ 3.3 原子核的振动.....	110
§ 3.4 轉动能譜受振动及粒子激发的干扰.....	117
§ 3.5 γ 跃迁对各种模型的檢驗.....	122
第四章 对称性.....	133
§ 4.1 轉动态的意义.....	133
§ 4.2 态的无穷小轉動.....	135
§ 4.3 态的有限轉動.....	142
§ 4.4 張量算符 約化矩阵元選擇定則.....	147
§ 4.5 角动量守恒.....	152
§ 4.6 空間反射态的定义.....	153
§ 4.7 宇称及其守恒.....	155
§ 4.8 时间反演态的定义.....	157
第五章 γ 跃迁.....	163
引言.....	163
§ 5.1 电磁場的平面波解.....	164

§ 5.2 电磁場的球面波解.....	163
§ 5.3 γ 跃迁几率公式.....	171
§ 5.4 γ 跃迁数量級 选择定期.....	177
§ 5.5 有关 γ 跃迁的一些重要的实验結果.....	180
§ 5.6 角关联公式.....	192
§ 5.7 混合跃迁的角关联.....	201
§ 5.8 核外場的影响.....	203
§ 5.9 内轉換理論.....	205
§ 5.10 0-0 跃迁.....	212
第六章 β 衰变.....	214.
§ 6.1 狄拉克电子論的簡短回顾.....	215
§ 6.2 β 衰变的相互作用形式.....	218
§ 6.3 β 衰变跃迁公式.....	223
§ 6.4 β 衰变研究方面的一些結果.....	241
第七章 S 矩陣理論.....	261
§ 7.1 引言.....	261
§ 7.2 S 矩陣的定义 S 矩陣和各种截面的关系(沒有自旋的情况).....	265
§ 7.3 S 矩陣的定义 S 矩陣和各种截面的关系(有自旋的情况).....	277
§ 7.4 S 矩陣的轉動不变性和空間反射不变性.....	281
§ 7.5 S 矩陣的公正性.....	284
§ 7.6 細致平衡.....	288
第八章 布拉脫-維格納公式和核反应的模型理論.....	291
§ 8.1 共振能級.....	291
§ 8.2 布拉脫-維格納公式.....	298
§ 8.3 对于布拉脫-維格納公式的討論与实验結果的比較.....	307
§ 8.4 光學模型.....	320
§ 8.5 蒸发理論.....	341
§ 8.6 直接相互作用 氚核剖裂反应.....	350
附录 I 克萊布西-哥爾當系数.....	365
附录 II 球諧函数和平面波.....	367
附录 III 关于角动量与空間轉動.....	369

第一章 核力問題

§ 1.1 核力問題的一般介紹

核子間的相互作用力簡稱核力，核力問題是原子核物理中基本問題之一，是基本粒子間強相互作用的一種。核力的知識對於解決原子核內部結構問題起着重要的作用。

兩個基本粒子間的相互作用，通常是通過場來傳達的。例如，在電磁相互作用中，一個帶電體的周圍存在着電磁場，它作用於附近的其他帶電體，同樣，可以設想，一個核子周圍存在着介子場，它作用於附近的其他核子。我們知道，電磁場的量子是光子，它可以被帶電粒子（例如電子）吸收、發射，或在帶電粒子的碰撞中產生（輻致輻射）。同樣，可以期望有介子場中的量子——介子存在，它可以被核子吸收、發射，或在核子碰撞中產生，這些都已經在實驗中証實了。這種特殊的介子稱為 π 介子，現在已肯定知道，當距離在 10^{-18} 厘米以上時，核子間的相互作用主要是由 π 介子傳播的，在更小的距離內，情況太為複雜，可能有其他種粒子及其他種機構起作用。

既然基本粒子間相互作用是由場來傳達的，那麼，在描述它們間的相互作用時，便不能脫離掉場（或中間粒子），但在某種極限情況下，相互作用的較簡單的近似敘述方法是可能的，例如當兩個電子間相對運動速度 $v \ll$ 光速 c 時，我們可以用位能來表達相互作用力，位能只是兩個電子的力學量的函數，不再包含光子在內。事實上，位能可以展為 $\frac{v}{c}$ 的級數，當 $\frac{v}{c} \ll 1$ 時，只須取前面一、兩項便够了。同樣，在核力問題上，如果兩個核子相對動能比 Mc^2 小得多

时(M 表核子的靜止質量)，例如，动能 $\gtrsim 150$ 兆电子伏特时，则核力也可以近似地通过位能来表达。这里位能只是两个核子力学量的函数，与介子的力学量无关。由于在原子核内核子的平均动能为 25 兆电子伏特，因此，可望由位能表达核力的近似还是可用的。

研究核力的方法不外从两个方面入手，一个是从实验上获得的 π 介子的性质及其与核子的相互作用，利用现有场論的方法推导出核子間的位能来，由于目前場論中还存在着严重的困难，这一方向的努力，还只得到定性或半定量的成果。另一方面，则是从分析与核力直接有关的实验(主要是核子与核子的散射实验)，并根据相互作用的若干普遍协变性要求建立两核子間的唯象位能。这两个方面相輔并进，各有其重要的一面，本章主要介绍核力的唯象理論。

在建立唯象理論中，除了借助于协变性条件外，主要依靠分析实验数据，特别是两体散射实验(np, pp, pd, nd)，从这些实验直接得到的是角分布，即微分(有效)散射截面，由足够多的微分截面(包括为了测量极化效应进行的多次散射的截面)，原则上可以确定一组相角位移，与此等效可以确定由任意初态(弹性)散射至任意终态的散射矩阵元。并且，原则上如果各种能量的相角位移或矩阵元都已测定，则可以唯一地确定核子間的位能。事实离开这样理想的情况还远得很，目前只能应用协变性条件及介子場論中某些定性結論作为指导，唯象地探索核力的特性及形式。

除了上述两体散射数据以外，几个最輕核的定性性质(如結合能、总角动量、磁矩、电器极矩、激发态性质等)也是确定核位能有用的可靠的資料。

在詳細討論如何从分析实验获得核力性质之前，以下将先介绍一些核力的定性知識：

(i)核力的力程及程度——从原子核本身的大小可以預言核

力的方程必然是短程的，大約在 10^{-13} 厘米左右，从测不准关系式也可以看出，約束在 10^{-13} 厘米附近的核子必然具有很大的动能（約二十几个兆电子伏特），核子必須有更大的吸力，才能使核子处于稳定的束缚态。

(ii) 核力与两个核子所处的态有关——例两个具有自旋为 $\frac{1}{2}$ 的粒子，可以組成自旋三重态或单态，在这两个不同的态下，核力也是不同的，此处，两个核子在质心坐标系中的波函数具有一定的宇称，处于不同宇称的态下的核子，具有不同的位能。

(iii) 核力与核子的电荷无关——不論中子或质子，只要处于同一种态下，它們之間具有相同的核力。

(iv) 核力中包含有非有心力的成分。

(v) 核力表現了所謂飽和性，原子核的總結合能大約与粒子数成正比，而不与核子数的平方（即核子对数）成正比，原子核内部的核物质密度总是接近于一个常数。

(vi) 核力与核子的动量有关，其中較肯定的是二体位能中包括自旋轨道耦合項。

(vii) 核力中除了二体力外，还有多体力存在，但关于多体力的研究存在严重的困难，唯象方法很难用来研究多体力，但可用来檢驗多体力的重要程度，如果多体力的方程比二体力更短，则可期望多体力在核结构問題只占着次要的地位。

(viii) 关于核力的徑向变化問題，能說的只有在相互間距离大处，位能大致与 $e^{-\mu r}$ 成正比 ($\mu = \frac{m_\pi c}{\hbar}$, m_π 为 π 介子的质量)，而在 r 小处，位能的变化細节已失去其意义，一般認為可以唯象地用一排斥心来表示。

(ix) 由于排斥心在概念上及計算上都引起一些困难，現在正設法用核力对动量的依賴性来代替排斥心，并已取得一些成果。

§ 1.2 在协变性要求下核力的普遍形式

出現于薛丁格方程中的二体位能，在物理上应当满足以下一些合理的协变性要求；这些协变性在物理的广大領域里一直是被實驗所証實的。

(i) 移动不变性——位能不能依赖两个核子的質心的位置，以 x_1, x_2 表这两个核子的空間坐标，则位能 V 只能是 $r = x_1 - x_2$ 的函数，不依赖于 $(x_1 + x_2)$ （我們知道，移动不变性相当于系統的总動量守恒）。

(ii) 轉動不变性——这要求位能中只能有标量及膺标量出現，膺标量不同于标量之处在於前者在空間反演中改变符号，而后者不变，两者在空間轉動中皆保持不变（轉動不变性相当于总角动量守恒）。

(iii) 空間反射不变性——这就使位能中只有标量出現（空間反射不变性相当于宇称守恒）。

(iv) 伽利略变换不变性——要求位能不依赖于两核子的总動量 $p_1 + p_2$ ，只依赖于相对動量 $p_1 - p_2$ ，亦即在所有慣性坐标系中，位能的形成都是一样。

(v) 時間反演不变性——要求 $V(r, p, \sigma_1, \sigma_2) = V(r, -p, -\sigma_1, -\sigma_2)$ ，在時間反演中， σ_1 的变换性質与 $r \times p$ 相同。

(vi) 位能算符应当是自軛的。

(vii) 位能应当是两核子力学量的对称函数，即在位能中两核子的力学量互換后位能形式不变。

利用以上七个条件，不難証明不依赖動量 $p = p_1 - p_2$ 的位能的普遍形式为

$$V = V_0(r) + V_\sigma(r) \sigma_1 \sigma_2 + V_T(r) s_{12} \quad (1)$$

其中 s_{12} 为

$$s_{12} = 3 \frac{\sigma_1 \cdot r \sigma_2 \cdot r}{r^2} - \sigma_1 \cdot \sigma_2 \quad (2)$$

(1) 已經是能用 r, σ_1, σ_2 建立起來的滿足上述條件的最普遍的標量, $V_0(r), V_\sigma(r), V_T(r)$ 都是任意的 r 的函數, $V_T(r)s_{12}$ 一項稱為張量位能, 它隨著 r 及 σ_1, σ_2 的取向不同而採取不同數值, 因此是一種非有心力。

如果允許位能中包括 p 的一次項, 則位能中只可能增加一項自旋軌道耦合能 V_{Ls} :

$$V_{Ls} = V_{Ls}(r)s \cdot L, \quad (3)$$

其中 $s = \frac{\hbar}{2}(\sigma_1 + \sigma_2), L = r \times p$.

如果位能中允許有 p 的二次項甚至高次項, 則位能的形式越來越複雜, 在能量不太高的情況下, (1) 加上 (3) 的位能形成可能已經夠普遍的了。

除了以上七個條件外, 還有一個很重要的性質要求核位能要滿足, 即:

(viii) 核力的電荷無關性——亦即不論是 np, pp 或 nn , 只要是處於同一個(相對運動)態下, 它們間的位能便是一樣, 當然有些態, 由於泡利原理, np 能達到的, 而 pp 及 nn 不能達到, 凡是能達到的態, 核子間的位能總是一樣的, 前面的七個條件可以從一般物理考慮予以承認, 第八個條件的成立有待於實驗的證明, 這一點將在以後講到。

為了表達這個性質, 有必要引進核子的同位旋的概念, 即我們把中子與質子看成同一種粒子(核子)在“同位旋空間”的兩個態, 也就是說, 給核子引入一個新的同位旋坐標。因為對於核子在同位旋空間中只有兩個態, 所以說同位旋算符在形式上與自旋算符相似。以 τ_1, τ_2, τ_3 與 $\sigma_1, \sigma_2, \sigma_3$ 相對應, τ_3 有兩個本征值: $\tau_3 = 1$

相当于中子; $\tau_3 = -1$ 相当于质子; τ_1, τ_2, τ_3 满足 $\tau_1^2 = \tau_2^2 = \tau_3^2 = 1$ 及 $\tau_1\tau_2 + \tau_2\tau_1 = 0, \dots$ 等关系式。在以 τ_3 为对角矩阵的表象中, τ_1, τ_2, τ_3 的矩阵形式为

$$\tau_1 = \begin{pmatrix} 0 & 1 \\ 1 & 0 \end{pmatrix}, \quad \tau_2 = \begin{pmatrix} 0 & -i \\ i & 0 \end{pmatrix}, \quad \tau_3 = \begin{pmatrix} 1 & 0 \\ 0 & -1 \end{pmatrix} \quad (4)$$

在同一表象中以 $\gamma = \begin{pmatrix} 1 \\ 0 \end{pmatrix}$, $\delta = \begin{pmatrix} 0 \\ 1 \end{pmatrix}$ 分别表示中子及质子的同位旋波

函数, 与自旋态相似, 两个核子的同位旋态有三重态与单态之分:

	波 函 数	代 表	对 称 性
三 重 态	$\xi_{1,+1} = \gamma_{(1)}\gamma_{(2)}$	n^2	对称
	$\xi_{1,-1} = \delta_{(1)}\delta_{(2)}$	He^2	
	$\xi_{1,0} = \frac{1}{\sqrt{2}}[\gamma_{(1)}\delta_{(2)} + \gamma_{(2)}\delta_{(1)}]$	H^2	
单 态	$\xi_{0,0} = \frac{1}{\sqrt{2}}[\gamma_{(1)}\delta_{(2)} - \gamma_{(2)}\delta_{(1)}]$	H^2	反对称

容易看出, 三重态与单态分别为两个核子的同位旋坐标的对称及反对称函数, 它们都是 $\tau^2 = (\tau_1 + \tau_2)^2$ 及 $\tau_z = \tau_{1z} + \tau_{2z}$ 的本征态。 $\xi_{1,-1}$ 表示 $\tau_1 = 1, \tau_2 = -1$ 的本征态, 余类推。

在我们这样将质子中子看成同种粒子的两个态, 并引入同位旋坐标后, 我们必须要求二个(或更多个)核子的波函数是 $r, \sigma_1, \sigma_2, \tau_1, \tau_2$ 的反对称函数, 即变换两个核子的所有坐标, 波函数应该改变符号, 以 $\varphi(r)\chi(\sigma)\xi(\tau)$ 来表示这样的波函数, 则利用泡利原理, 可建立下表, 表中说明某些 np 能达到的态(*c* 和 *d*)和 nn 及 pp 不能达到的态, 核力的电荷无关性即表示在态 *a*, *b* 下, np, nn, pp 的相互作用完全一样。这一要求就限制了在位能中 τ_1, τ_2 出现的可能形式, 以 $f(\tau_1, \tau_2)$ 表示任何这种可能的形式, 则根据以上所述, $f(\tau_1, \tau_2)$ 必须是满足下一条件的对称函数:

核子系	$\xi(\tau)$	$\chi(\sigma)$	$\varphi(\tau)$	态
nn	三重态, 对称	三重态	奇宇称	a
		单态	偶宇称	b
pp	三重态, 对称	三重态	奇宇称	a
		单态	偶宇称	b
np	单态, 反对称	三重态	奇宇称	c
		单态	偶宇称	d

$$f(\tau_1, \tau_2) \xi_{1,m} = \lambda_1 \xi_{1,m}$$

其中 λ_1 与 m 无关, 容易看出满足上式的 f 只有是常数或者 $\tau_1 \cdot \tau_2$, 由此以前所得位能可能的普遍形式, 在引入同位旋坐标后, 每一项都变为两项, 例如:

$$V_0(r) \longrightarrow V_0(r) + V_\tau(r) \tau_1 \cdot \tau_2$$

$$V_\sigma(r)\sigma_1 \cdot \sigma_2 \longrightarrow V_\sigma(r)\sigma_1 \cdot \sigma_2 + V_{\sigma\tau}(r)\sigma_1 \cdot \sigma_2 \tau_1 \cdot \tau_2$$

由此得出在协变性要求下, 包含动量至一次方为止的普遍位能形式为

$$V = V_e + V_{Ts_{12}} + V_{s_L s \cdot L} \quad (5)$$

$$\text{其中, } V_g = V_0(r) + V_\sigma(r)\sigma_1 \cdot \sigma_2 + V_\tau(r)\tau_1 \cdot \tau_2 +$$

$$+V_{\sigma_2}(r)\sigma_1\cdot\sigma_2\tau_1\cdot\tau_2 \text{ (有心力)} \quad (6)$$

$$V_T = V_{T_0}(r) + V_{T_1}(r)\tau_1 \cdot \tau_2 \text{ (張量力)} \quad (7)$$

$$V_{sL} = V_{sL0}(r) + \vec{V}_{Ls\tau} \cdot \vec{\tau}_1 \cdot \vec{\tau}_2 \quad (\text{自旋轨道耦合力}) \quad (8)$$

由于 $\sigma_1 \cdot \sigma_2$ 在三单态下为 1, 单态下为 -3, 所以也可按字母及自旋单态或三重态来列举各种位能:

V_c 中有四种: $(^3V_c^+)$, $(^3V_c^-)$, $(^1V_c^+)$, $(^1V_c^-)$,

V_T 中有两种: $(^3V_T^+)$, ${}^3V_T^-$,

V_{sL} 中有两种: $(^3V_{Ls}^+)$, ${}^3V_{Ls}^-$

显然在单态下 V_T 及 V_{sL} 都为零, 上式中有括号者表示 pp 及 nn 不能达到的态, 指标“+”, “-”号表示称为偶或奇。

至于每一种位能中徑向部分的具体形状, 只有从分析实验求得; 在介子場論中, 也可用一般微扰法得出以上的核力的一般形式, 但位能的具体徑向变化及大小与实验不符。

§ 1.3 低能区中子与質子的相互作用, 氚核基态性质

在低能区域内的特点, 是在相对运动中波长远大于核力力程, 因此不能希望低能实验能有助于識別位能的細节, 相反地, 低能实验最多只能用来决定有关位能的少数参数。由于低能实验测量得較准确, 这些被决定的参数具有肯定的意义; 任何方式提出的两体位能, 必須首先能給出这些参数才有意义。核力的电荷无关性, 在这个能量区域内也已經显示出来。

研究低能区的 n, p 相互作用时, 氚核是一个最简单而且有用的例子。有关氚核的主要实验数据, 有以下几个:

- (1) 氚核是由一个中子与一个質子組成的稳定核, 它只有一个束缚态, 总角动量(核自旋) $J=1$ 。
- (2) 結合能 $B=2.226 \pm 0.002$ 兆电子伏特。
- (3) 磁矩 $\mu_D=0.857411 \pm 0.000019$ (核磁子)。

$$\mu_p + \mu_n - \mu_D = 0.02231 \pm 0.00012 \text{ (核磁子)}.$$

- (4) 电四极矩 $Q_D=(2.738 \pm 0.014) \times 10^{-27}$ 厘米².

利用这些数据, 我們已經能够初步地得出中子与質子間位能的一些粗淺的結論。几个有关位能的参数可以由此决定, 从 $(\mu_p + \mu_n - \mu_D) \ll \mu_D$ 可以看出, 中子、質子在质心坐标中基本上处于 S 态, 不然的話, 質子会貢献一部分轨道磁矩, 于是 $(\mu_p + \mu_n - \mu_D)$

应当等于一个核磁子的数量级, 又因 $J=1$, 所以中子与质子的自旋是平行的。不过, 这里还是存在着矛盾的, 因为既然认为氘核处于 S 态就不会有电四极矩。如果核子间相互作用是有心力场, 则轨道角动量是运动常数, 氚核基态必然只能有一定的轨道角动量。 S 态不可能与其他态混起来, 所以说 $Q_D \neq 0$ 表示核子间位能不可能全是有心力场。以上从协变性要求已经看出非有心力也是可能出现的, 氚核的这个性质更证实了非有心力是必然存在的, 由于 Q_D 及 $\mu_D - \mu_p - \mu_n$ 的数值还算比较小, 为了估计有心力的大小, 我们可暂且略去它们, 先假定核力是有心力。

在质心坐标中, 氚核基态波函数 ψ 满足

$$\left[-\frac{\hbar^2}{2\mu} \nabla^2 + V(r) \right] \psi(r) = E\psi(r),$$

其中 $\mu = \frac{M_n M_p}{M_n + M_p} \approx M_p$, $V(r)$ 表示中子与质子间位能, 相当于前面讲过的 ${}^3V_+$, $E = -B = -2.226$ 兆电子伏特。上式的 s 波部分只包括径向波函数 $\psi_0(r) = R(r) = \frac{u(r)}{r}$, $u(r)$ 满足

$$\left\{ \frac{d^2}{dr^2} + [-\alpha^2 + v(r)] \right\} u(r) = 0 \quad (9)$$

$$\alpha^2 = -\frac{2\mu E}{\hbar^2}, \quad v(r) = -\frac{2\mu V(r)}{\hbar^2} \quad (10)$$

$u(r)$ 必须满足由条件 $u(0)=0$, $u(\infty)=0$, 为了得到关于 $V(r)$ 的一般认识, 假定 $V(r)$ 为方位阱,

$$\begin{cases} V(r) = -V_0, & r < b \\ V(r) = 0, & r > b \end{cases} \quad (11)$$

(9) 变为

$$\left(\frac{d^2}{dr^2} + K^2 \right) u(r) = 0, \quad r < b \quad (12)$$

$$\left(\frac{d^2}{dr^2} - \alpha^2 \right) u(r) = 0, \quad r > b$$

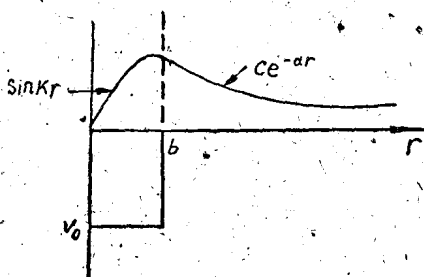


图 1.1

其中

$$K^2 = \frac{2\mu V_0}{\hbar^2} - a^2 = \frac{2\mu}{\hbar^2} (V_0 - B), \quad (13)$$

由此得

$$\begin{aligned} u(r) &= \sin(Kr), \quad r < b \\ u(r) &= C e^{-\alpha r}, \quad r > b \end{aligned} \quad (14)$$

內、外波函数在 $r=b$ 处必須相接；注意：外部波函数梯度是負的，由于氘核只有一个束缚态，内部波函数 $\sin Kr$ 在 $r=b$ 处必定是刚刚开始下降，即 $Kb \approx \frac{\pi}{2}$ 。如果 $B=0$ ，則 $Kb=\frac{\pi}{2}$ 。此时 V_0 与 b

满足 $V_0 b^2 = \left(\frac{\pi}{2}\right)^2 \frac{\hbar^2}{2\mu} \approx \frac{\pi^2 \hbar^2}{4M_p}$ 。对于实际的 B 来说， $V_0 b^2$ 比 $\frac{\pi^2 \hbar^2}{4M_p}$ 稍大。采用其他类型的位阱，也得到类似的结果；即结合能数值只确定了标志位能深度与宽度平方的乘积 $V_0 b^2$ 。为了看一看这些量的数量级，举出以下一些数字：

$$b = 2 \times 10^{-13} \text{ 厘米 } \quad V_0 = 25 \text{ 兆电子伏特}$$

$$b = 1.7 \times 10^{-13} \text{ 厘米 } \quad V_0 = 35.2 \text{ 兆电子伏特}$$

而 $\frac{1}{\alpha} = 4.3 \times 10^{-13}$ 厘米这个长度相当于外部波函数的长度，由于它已經比 b 大許多，所以 $\frac{1}{\alpha} \approx 4.3 \times 10^{-13}$ 厘米几乎可以認為是氘核的半徑。

§ 1.4 低能 $n-p$ 散射

(1) 實驗数据及有效力程理論 在低能散射中 ($E_L < 10$ 兆电子伏特), 質心坐标中微分截面是各向均匀的, 这很容易在理論上說明, 因为在低能下波长比相互作用範圍要大得多, 波函数中只有 s 波部分受相互作用的影响显著。再当靶上質子可以当作自由时, 在質心坐标中的角分布便是各向同性的, 这个条件只要在入射中子能量比質子在靶上分子中的結合能(約 1 电子伏特)大得多时就滿足。

實驗中 E_L 在 10 至 100 电子伏特中測得的 $n-p$ 散射总截面为 $20.36(\pm 0.1)$ 巴恩^①, 其他能量下測得的截面如表 1.1。

表 1.1

E_L (兆电子伏特)	σ (巴恩)
1.005	4.228 ± 0.018
1.315	3.675 ± 0.016
2.540	2.525 ± 0.009
4.749	1.690 ± 0.007

在这个能量区域内, 我們將把 $n-p$ 散射看成是純彈性散射, 尽管这样做不完全正确, 因为除彈性散射外, 質子还可以被中子俘获, 放出 γ 射線, 但这个截面当 $E_L \geq 1$ 电子伏特时, 比彈性散射截面要小得多, 因此把 $n-p$ 散射当成純彈性散射还是很好的近似。

散射态波函数一般可写成

$$\psi(r) \xrightarrow{r \rightarrow} e^{ikr} + f(\theta) \frac{e^{ikr}}{r}, \quad \frac{\hbar^2 k^2}{2\mu} = E,$$

其中 s 波部分为

① 1 巴恩 = 10^{-24} 厘米²。

$$(e^{ikr})_{l=0} = \sqrt{4\pi} \frac{\sin kr}{kr}$$

$$(f(\theta))_{l=0} = \frac{e^{i\delta_0}}{k} \sin \delta_0$$

$$(\psi(r))_{l=0} = \psi_0(r) = \sqrt{4\pi} \frac{\sin kr}{kr} + \left(\frac{e^{i\delta_0}}{k} \sin \delta_0 \right) \frac{e^{ikr}}{r} \quad (15)$$

δ_0 的数值取决于 $V(r)$; $u(r) = r\psi_0(r)$ 所满足的方程式为

$$\left[\frac{d^2}{dr^2} + (K(r))^2 \right] u(r) = 0, \quad (16)$$

其中 $K(r) = \left[\frac{2\mu}{\hbar^2} (E - V(r)) \right]^{\frac{1}{2}}$, E 为在质心坐标中的能量。当 $r \rightarrow$

$\rightarrow \infty$ 时, $K \rightarrow \left(\frac{2\mu}{\hbar^2} E \right)^{\frac{1}{2}} = k$ 。从(15)式可求得满足 $n(0)$ 的解, 这

个解在 $r \rightarrow \infty$ 时趋于 $\sin(kr + \delta_0)$, C 为归一化常数。由此便得到 δ_0

微分散射截面 $\frac{d\sigma}{d\Omega}$ 及总截面 σ 各为

$$\begin{aligned} \frac{d\sigma}{d\Omega} &= |f(\theta)|^2 = \frac{1}{k^2} \sin^2 \delta_0, \\ \sigma &= \int \frac{d\sigma}{d\Omega} d\Omega = \frac{4\pi}{k^2} \sin^2 \delta_0. \end{aligned} \quad (17)$$

以上的表达式, 对于任何核子的弹性散射来说, 只要在能量低到只有 s 波起作用便适用。对于力程短位阱深的位能, 由于 $\lambda = \frac{1}{k} \gg b$, 低能散射与位阱形状关系不大。这一简化情况, 应当可以在 σ 或 δ_0 的对于位阱形状及随能量的变化中表现出来。事实上, 利用实验上得到 δ_0 , 作以 $k \cos \delta$ 为纵坐标, 以 k^2 为横坐标的图, 发现基本上是一条直线, 这一点, 在理论上也是可以解释的。设(16)式在两个不同的能量 E_1, E_2 (其相应波数为 k_1, k_2) 下的两个解为 $u_1(r), u_2(r)$: